

ЧИСЛЕННОЕ МОДЕЛИРОВАНИЕ ДВИЖЕНИЯ ЛЬДА В СТРАТИФИЦИРОВАННОЙ ЖИДКОСТИ

Мортиков Е.В.^{1,2}

¹ Научно-исследовательский вычислительный центр
МГУ им. М.В. Ломоносова

² Институт океанологии им. П.П. Ширшова РАН

22 ноября 2012 г. Математическое моделирование геофизических процессов:
прямые и обратные задачи

Цели работы

- Определение влияния стратификации на силу сопротивления при движении льда сложной формы в стратифицированной жидкости
 - Выявление зависимости силы сопротивления от параметров стратификации
 - Оценка применимости аналитических моделей для расчета силы сопротивления при наличии стратификации
- Разработка комплекса программ для численного моделирования движения льда в стратифицированной жидкости
 - Численное моделирование течений в областях сложной конфигурации при явном воспроизведении движения погруженных в жидкость тел
 - Возможность проведения расчетов с высоким пространственным разрешением
 - Эффективная реализация модели на современных параллельных вычислительных системах

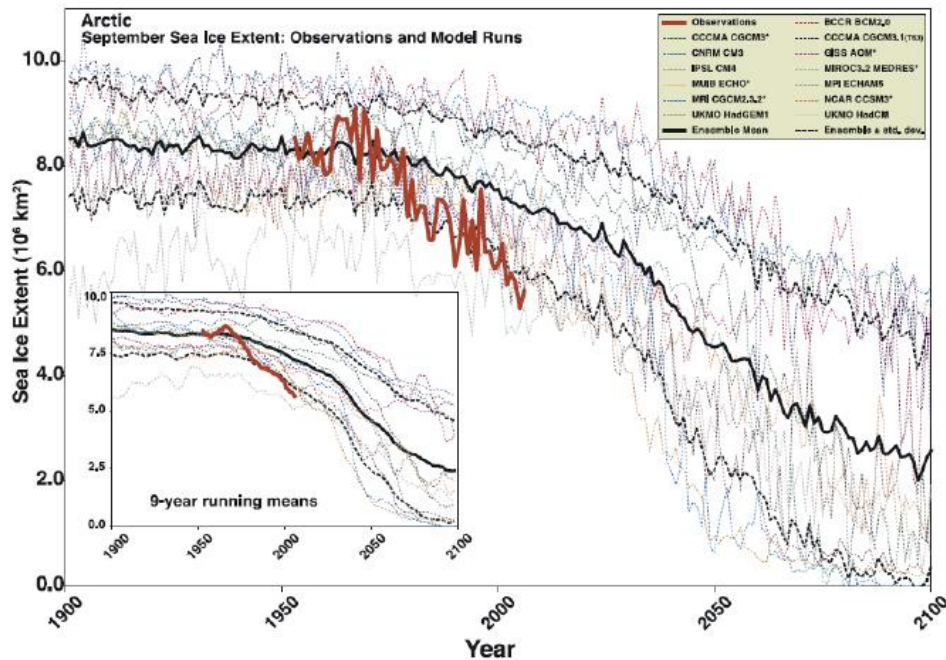
Структура работы

- Введение
- Численная модель
 - Метод погруженной границы
- Программная реализация на параллельных системах
- Вычислительные эксперименты с численной моделью
- Численное моделирование движения ледяного кия
 - Постановка задачи
 - Аналитические модели
 - Расчет силы сопротивления в однородной и двухслойной жидкости
 - Воспроизведение волнового возмущения в двухслойной жидкости
- Заключение

I. Введение

Актуальность работы

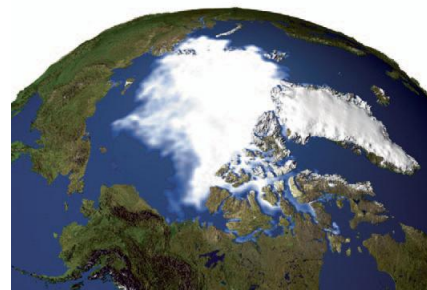
- Параметризация динамики морского льда с учетом стратификации и сложной формы поверхности
- Повышение точности прогнозирования движения морского льда



Stroeve et al., 2007. Arctic sea ice decline: faster than forecast



1979 мин. сентябрь



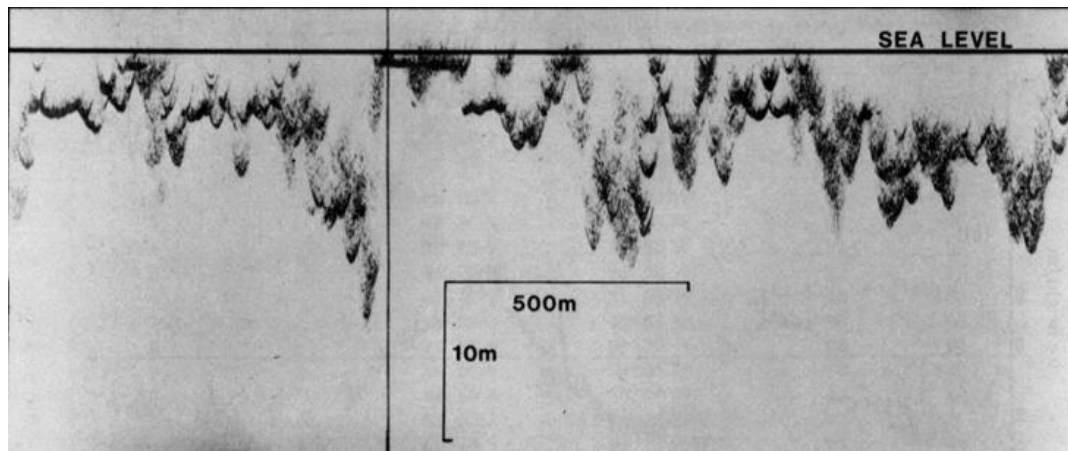
2003 мин. сентябрь

© NASA (ACIA, 2004)

I. Введение

Характеристика ледовой поверхности

- Сложная структура подводной поверхности льда
 - Недостаток данных наблюдений
- Характерная черта ледовой поверхности – наличие ледяных килей
 - Средняя высота $h_k \approx 10$ метров [Wadhams, 1988]
 - Сравнима с глубиной перемешанного слоя
 - Средняя частота $f_k \approx 3-7$ килей на км [Wadhams, 1988; Bourke et al., 1992]



Wadhams, 1981. Sea ice topography of the Arctic ocean.

I. Введение

Динамика морского льда

- Генерация внутренних волн при движении морского льда при наличии стратификации [McPhee, 1989]
 - Влияние на динамику морского льда
 - Влияние на процессы вертикального перемешивания и перенос тепла
- Коэффициент сопротивления лед-океан

$$C_D = \frac{|u^*|^2}{|U_i|^2} \quad \begin{array}{l} u^* \text{ — скорость трения} \\ U_i \text{ — относительная скорость льда на глубине в несколько метров} \end{array}$$

- Форма подводной поверхности
- Условия стратификации
- Динамика пограничного слоя

I. Введение

Динамика морского льда

- Современные параметризации коэффициента сопротивления, как правило, не учитывают эффекты стратификации и наличия ледяных килей
 - Постоянные эмпирические значения коэффициента сопротивления ($C_D \approx 0.0055$) на основе данных измерений в определенных районах Арктики [McPhee, 2008]
 - Простые модели сезонного изменения коэффициента сопротивления
- Чувствительность климатических моделей Северного Ледовитого океана к значению коэффициента сопротивления [Яковлев, 2007]
- Данные наблюдений вблизи ледяного киля глубиной около **10** метров показывают изменение коэффициента сопротивления от **0.002** до **0.08** в зависимости от условий стратификации [Schmidt, 2012]

II. Численная модель

- Трехмерная численная модель стратифицированной жидкости
 - Возможность представления особенностей формы поверхности морского льда в численных расчетах
 - Воспроизведение движения морского льда со сложной формой поверхности
 - Воспроизведение внутренних волн при движении морского льда в стратифицированной жидкости
 - Высокое пространственное разрешение
 - Эффективная параллельная реализация численных методов для расчета течений с разрешением порядка 10^8 точек

II. Численная модель

Система уравнений

- Вязкая несжимаемой жидкости в приближении Буссинеска

$$\frac{\partial \mathbf{u}}{\partial t} + (\mathbf{u} \cdot \nabla) \mathbf{u} = \nu \nabla^2 \mathbf{u} - \frac{1}{\rho_0} \nabla p - \frac{\rho'}{\rho_0} g \mathbf{e}_z + \mathbf{f}_U$$

$$\frac{\partial \rho'}{\partial t} + (\mathbf{u} \cdot \nabla) \rho' = \kappa \nabla^2 \rho' + f_\rho$$

$$\nabla \cdot \mathbf{u} = 0$$

$$\mathbf{u}(\mathbf{x}, t) \Big|_{\Gamma_b} = \mathbf{U}_b(t)$$

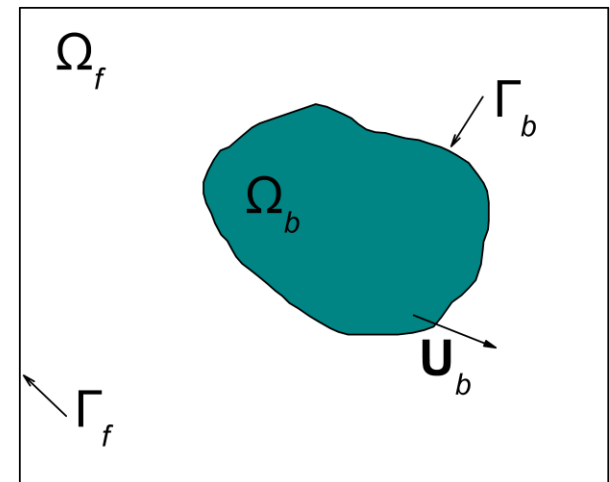
$\mathbf{u} = (u, v, w)$ – вектор скорости; p – давление

ρ' – отклонение плотности от средней величины ρ_0

$\nu = \mu / \rho_0$ – кинематическая вязкость

κ – коэффициент диффузии

g – ускорение свободного падения



II. Численная модель

Дискретизация по времени

- Метод дробных шагов для интегрирования системы по времени
 - Определение промежуточного поля скорости

$$\frac{\tilde{\mathbf{u}} - \mathbf{u}^n}{\Delta t} + [\mathbf{u} \cdot \nabla \mathbf{u}]^{n+\frac{1}{2}} = \nu [\nabla^2 \mathbf{u}]^{n+\frac{1}{2}} - \frac{1}{\rho_0} \nabla p^n - \frac{\rho^{n+\frac{1}{2}}}{\rho_0} g \mathbf{e}_z + \mathbf{f}_U^{n+1}$$
$$\nabla \cdot \mathbf{u}^{n+1} = 0$$

- Явная схема Адамса-Башфорта 3-го порядка по времени
- Уравнение Пуассона для поправки к давлению $\nabla \cdot \nabla \phi^{n+1} = \frac{\nabla \cdot \tilde{\mathbf{u}}}{\Delta t}$

$$\mathbf{u}^{n+1} = \tilde{\mathbf{u}} - \Delta t \cdot \nabla \phi^{n+1}$$
$$p^{n+1} = p^n + \rho_0 \phi^{n+1}$$

- Явная схема Рунге-Кутты 2-го порядка для отклонения плотности

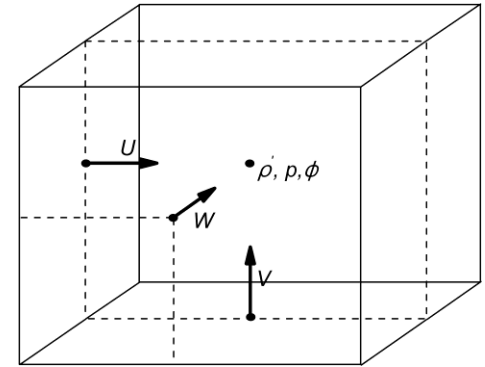
$$\tilde{\rho} = \rho^n + \Delta t L(\rho^n)$$

$$\rho^{n+1} = \rho^n + \frac{\Delta t}{2} [L(\rho^n) + L(\tilde{\rho})]$$

II. Численная модель

Дискретизация по пространству

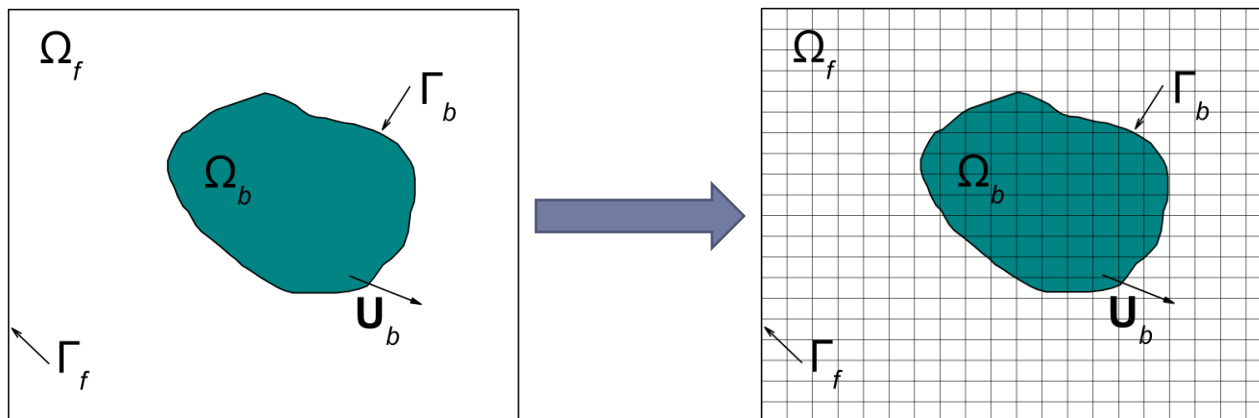
- Прямоугольная сетка с неравномерным шагом
 - Разнесенная сетка
 - Схема центральных разностей для аппроксимации линейных слагаемых
 - Консервативная схема второго порядка для кососимметрической формы записи адвекции
 - Схема WENO 5-го порядка для аппроксимации переноса скаляра
- Итерационный метод решения уравнения Пуассона
 - Стабилизированный метод бисопряженных градиентов (BiCGstab) для решения уравнения Пуассона
 - Предобусловливатель – геометрический многосеточный метод



II. Численная модель

Метод погруженной границы


- Моделирование течений в областях сложной конфигурации на простых прямоугольных сетках
 - Нет необходимости перестраивать сетку на каждом шаге по времени для задач с подвижными границами
 - Простота реализации на параллельных архитектурах
 - Необходимы специальные способы аппроксимации краевых условий на криволинейных границах при дискретизации на прямоугольных сетках — **метод погруженной границы**



II. Численная модель

Метод погруженной границы

- Аппроксимация краевых условий на криволинейных границах за счет добавления специальных функций в уравнение движения

$$\frac{\partial \mathbf{u}}{\partial t} + (\mathbf{u} \cdot \nabla) \mathbf{u} = \nu \nabla^2 \mathbf{u} - \frac{1}{\rho_0} \nabla p - \frac{\rho'}{\rho_0} g \mathbf{e}_z + \mathbf{f}_U$$


- Определяются операторы интерполяции и проектирования для точек прямоугольной сетки и точек криволинейной границы

$$\mathbf{F} = L\mathbf{f}, F_s = \sum_{m \in \Omega_h} f_m d(\mathbf{x}_m - \mathbf{X}_s) \Delta V, 1 \leq s \leq P_b$$

$$\mathbf{f} = L^* \mathbf{F}, f_m = \sum_{s=1}^{P_b} F_s d(\mathbf{x}_m - \mathbf{X}_s) \Delta s, m \in \Omega_h$$

$d(\mathbf{r})$ – конечно-разностная аппроксимация точечных источников на сетке

- Преобразование операторов
 - Смещение интерполяции вблизи границы области
 - Повышение гладкости операторов при воспроизведении движения границ

II. Численная модель

Метод погруженной границы

- Вычисление промежуточного поля скорости разделяется на несколько шагов

$$\frac{\hat{\mathbf{u}} - \mathbf{u}^n}{\Delta t} + [\mathbf{u} \cdot \nabla \mathbf{u}]^{n+\frac{1}{2}} = \nu [\nabla^2 \mathbf{u}]^{n+\frac{1}{2}} - \frac{1}{\rho_0} \nabla p^n - \frac{\rho^{n+\frac{1}{2}}}{\rho_0} g \mathbf{e}_z$$

$$\frac{\tilde{\mathbf{u}} - \hat{\mathbf{u}}}{\Delta t} = \mathbf{f}_U^{n+1}(\mathbf{x}, t^{n+1}) \equiv L^* \mathbf{F}_U^{n+1}(\mathbf{X}_b, t^{n+1})$$

- Система уравнений для \mathbf{F}_U^{n+1} в точках криволинейной границы

$$\frac{L\tilde{\mathbf{u}} - L\hat{\mathbf{u}}}{\Delta t} = L\mathbf{f}_U^{n+1} \equiv LL^* \mathbf{F}_U^{n+1} \equiv A_b \mathbf{F}_U^{n+1}$$

$$\frac{\mathbf{U}_b^{n+1} - L\hat{\mathbf{u}}}{\Delta t} = A_b \mathbf{F}_U^{n+1}(\mathbf{X}_b, t_{n+1}), L\tilde{\mathbf{u}} \approx \mathbf{U}_b^{n+1}$$

- A_b – разряженная симметричная блочно-диагональная матрица
- Требуется пересчет матрицы A_b системы при движении границы

III. Программная реализация

- Параллельная реализация на традиционной вычислительной архитектуре
 - Пространственная декомпозиция области по вычислительным процессам
 - C/C++, OpenMP, MPI
 - Суперкомпьютер МГУ СКИФ «Чебышёв», Intel Xeon
 - **5000** ядер, Пиковая производительность – **60** Tflor/s (произв. на ядро: **0.012** Tflor/s)
- Параллельная реализация на графических процессорах
 - Пространственная декомпозиция на графические карты
 - Внутренний параллелизм на ядрах графического процессора
 - C/C++, CUDA, MPI
 - Суперкомпьютер МГУ «Графит!/GraphIT!», Nvidia Tesla
 - **48** графических процессоров – **24** Tflor/s (произв. на ГПУ: **0.5** Tflor/s)

III. Программная реализация

Параллельная реализация на графических процессорах

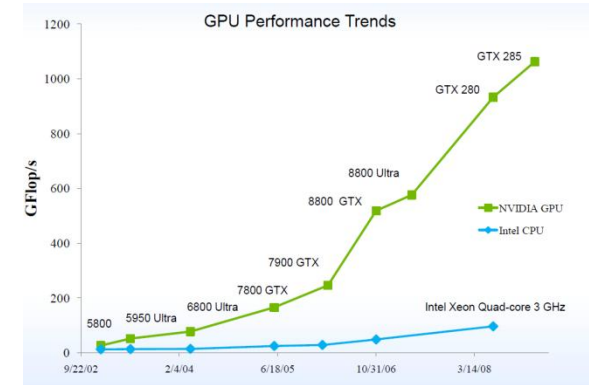
- Актуальная современная вычислительная технология

- Достоинства

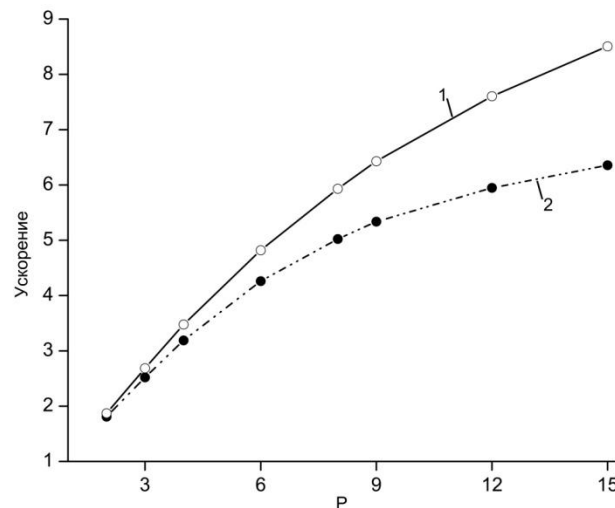
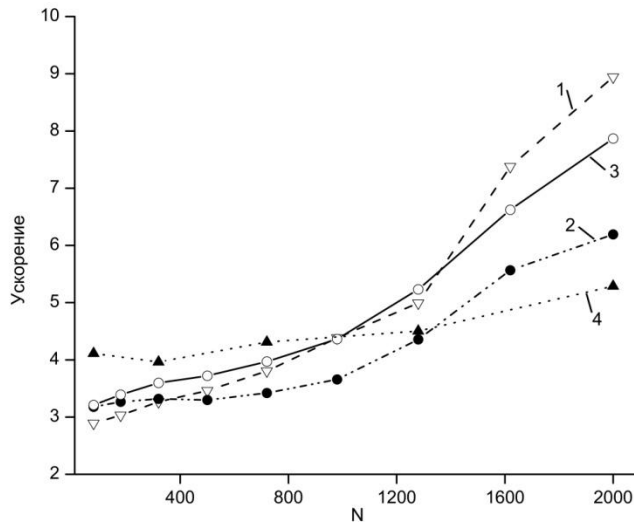
- Низкая стоимость
 - Энергоэффективность
 - Высокая производительность графических процессоров

- Усложняется программная реализация

- Модификация численных методов

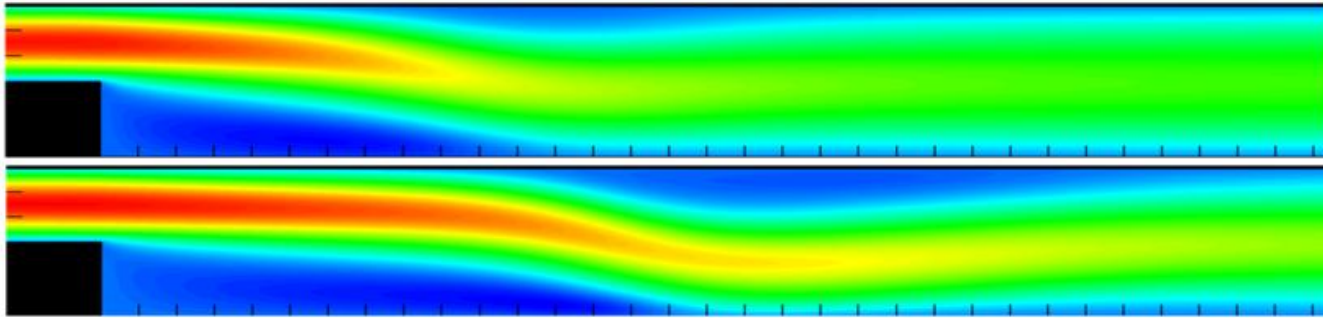


©Nvidia

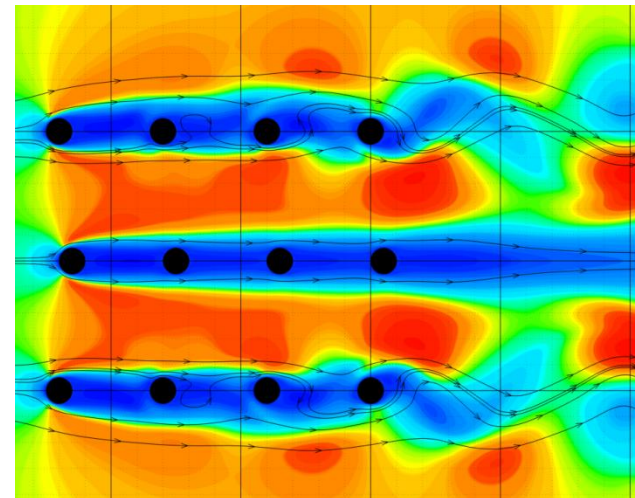
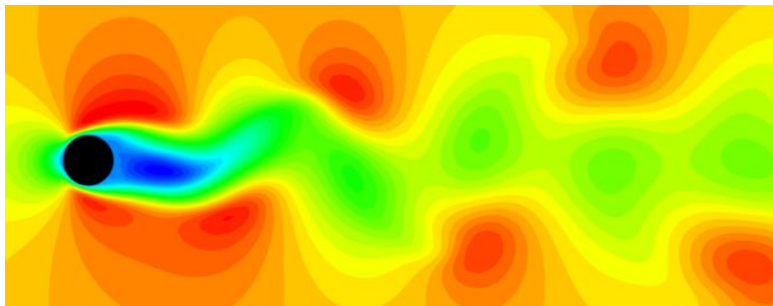


IV. Вычислительные эксперименты

- Течение поверх ступеньки

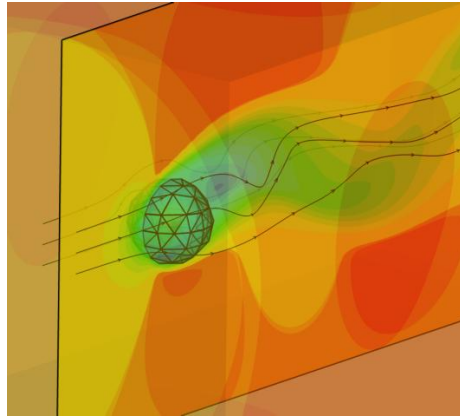


- Течение вокруг кругового цилиндра и группы круговых цилиндров

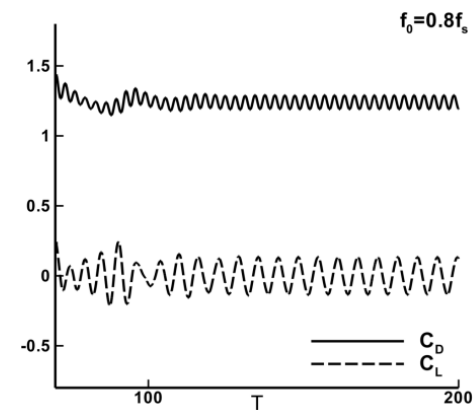
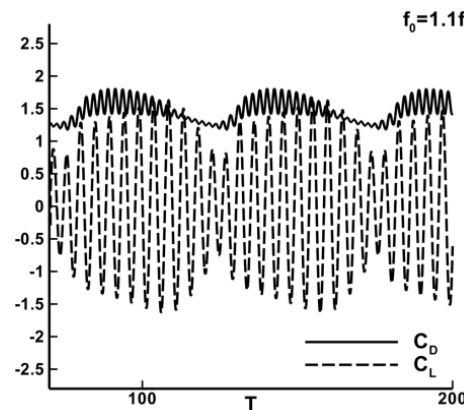


IV. Вычислительные эксперименты

- Возмущение среды при периодическом движении сферы



- Расчеты силы сопротивления при различных параметрах движения кругового цилиндра



V. Численное моделирование движения ледяного кия

Постановка задачи

- Движение ледяного кия в двухслойной жидкости

- Параметры среды согласованы с лабораторными экспериментами [Pite et al., 1995] и данными наблюдений в море Бофорта [Topham et al., 1987]

- Число Фруда

$$F_0 = \frac{U_K}{c_0}, 0.1 \leq F_0 \leq 1.7$$

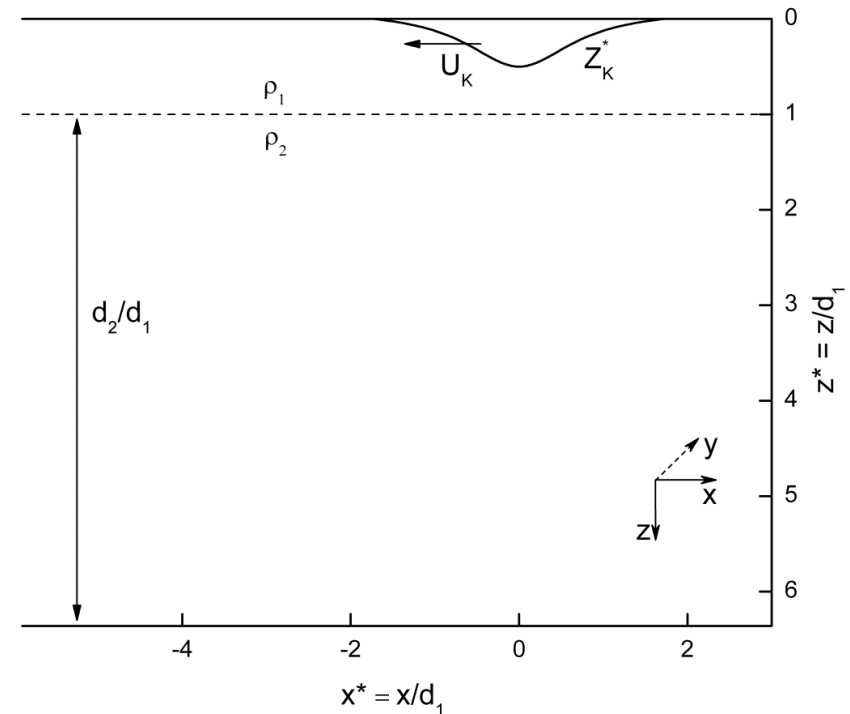
- Скорость движения кия: U_K

- Фазовая скорость внутренних волн:

$$c_0 = \sqrt{g'h_0}$$

$$h_0 = \frac{d_1 d_2}{d_1 + d_2}$$

$$g' = g(\rho_2 - \rho_1) / \rho_0 \approx 0.021g$$

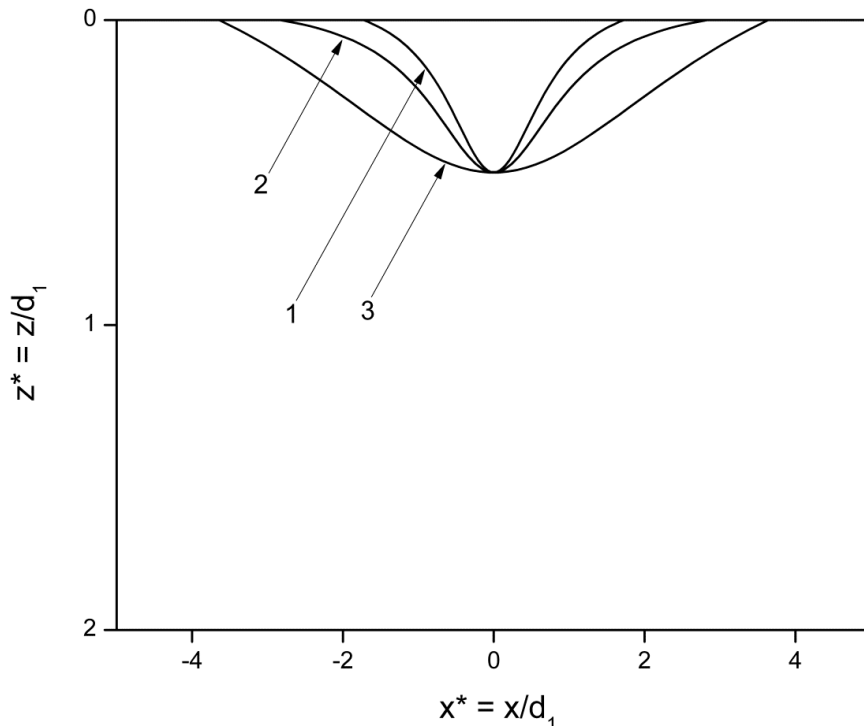


V. Численное моделирование движения ледяного киля

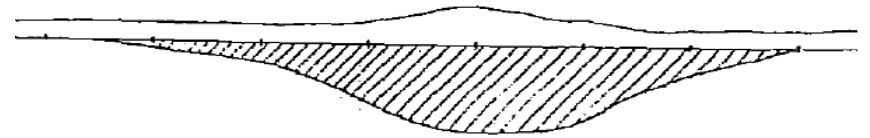
Постановка задачи

- Профили моделей килей

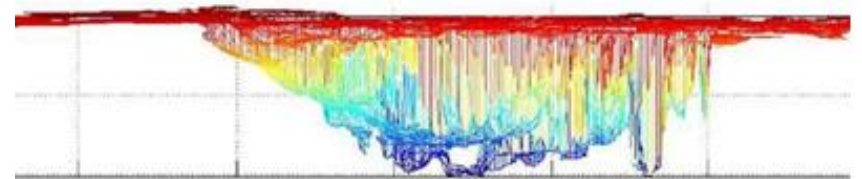
$$Z(x) = \frac{HB^2}{B + x^2} - C$$



- Данные наблюдений



Topham et al., 1988. Field observations of flow patterns generated by an ice keel in stratified flow.



Schmidt, 2012. Observations of hydraulic roughness and form drag in the wake of a deep ice keel in the Arctic Ocean

V. Численное моделирование движения ледяного килля

Аналитические модели

- Модель на основе уравнений Кортвега-де Фриза ($F_0 \approx 1.0$) [Melville and Helfrich, 1987]
 - Основные характеристики течения
 - Вектор состояния среды $\Psi = (\rho_1, \rho_2, d_1, d_2, F_0)$
 - Нелинейность $\alpha = a / h_0, a = a(\Psi)$
 - Дисперсия $\beta = (h_0 / l)^2$
 - Характеристика орографии $\gamma = Z_0 / h_0$

- Вычисление силы сопротивления по форме интерфейса:

$$F^* = \frac{1}{2} \rho_1^* \int_{-l/2}^{l/2} (2U^* \tilde{u}_1^* + \tilde{u}_1^{*2}) Z_x^* dx^*$$

$$\tilde{u}_1 = \tilde{u}_1(\eta, \alpha, \beta, \gamma, Z, \Psi)$$

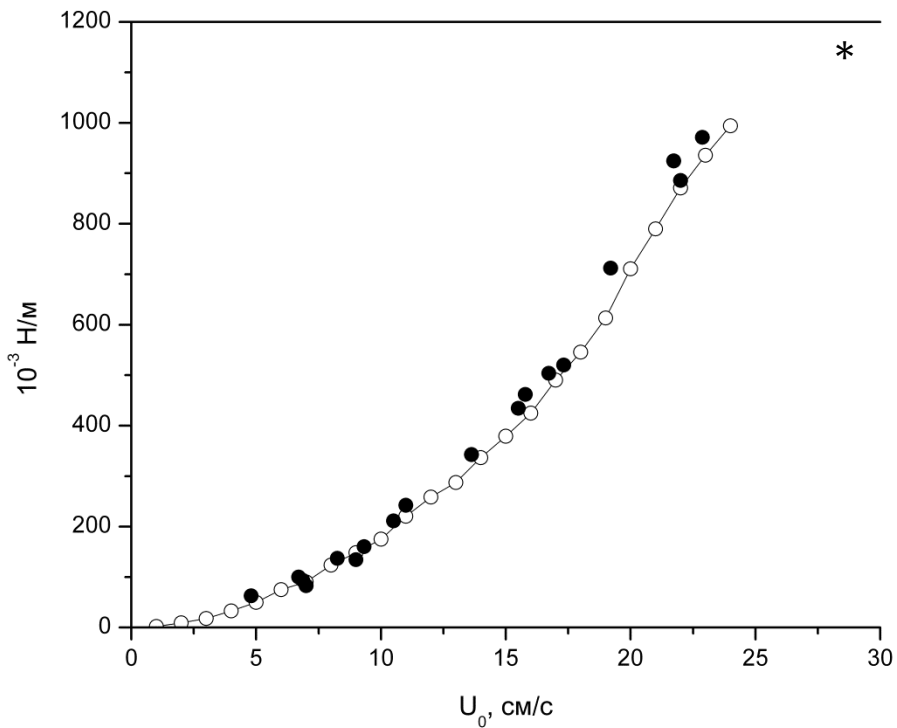
$$\eta_t + (F_0 - 1)\eta_x - \beta p \eta_{xxx} + \alpha r \eta \eta_x + \alpha^2 s \eta^2 \eta_x = -\beta q Z_x$$

- Конечно-разностный метод решения [Meigenhart, 1971]

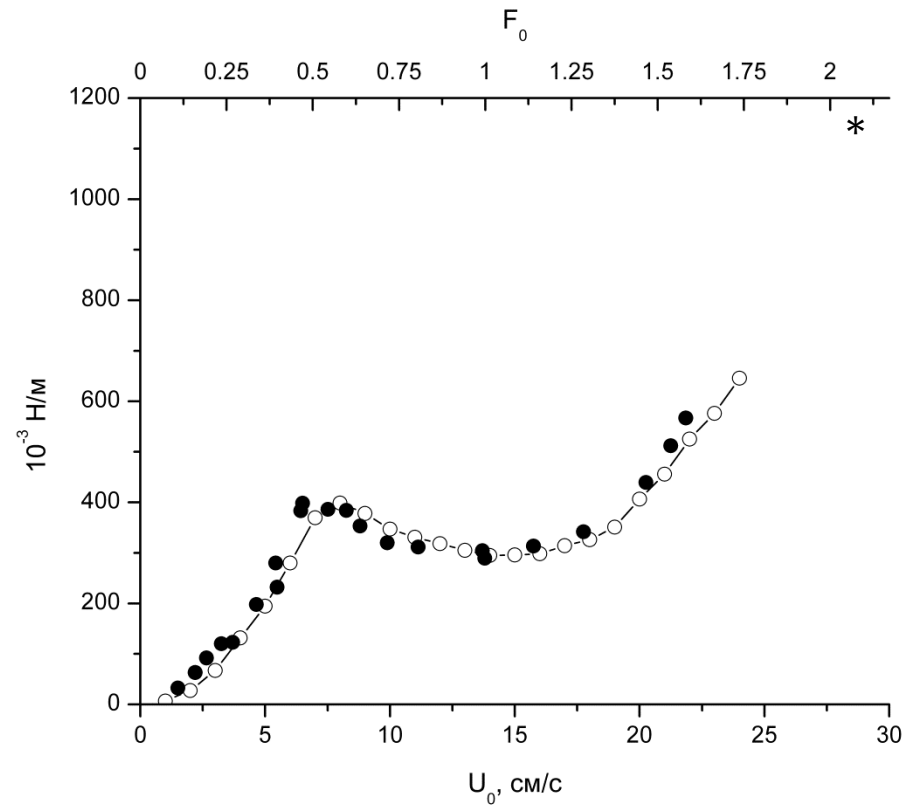
V. Численное моделирование движения ледяного кия

Результаты расчета силы сопротивления - Киль №1

- Однородная жидкость



- Двухслойная жидкость

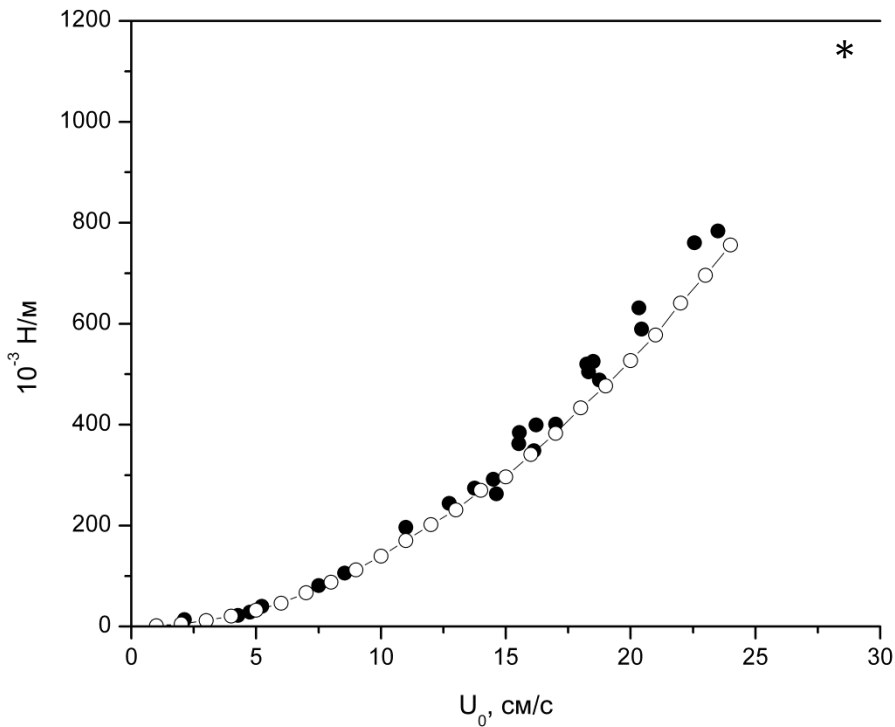


* данные лабораторных экспериментов [Pite et al., 1995]

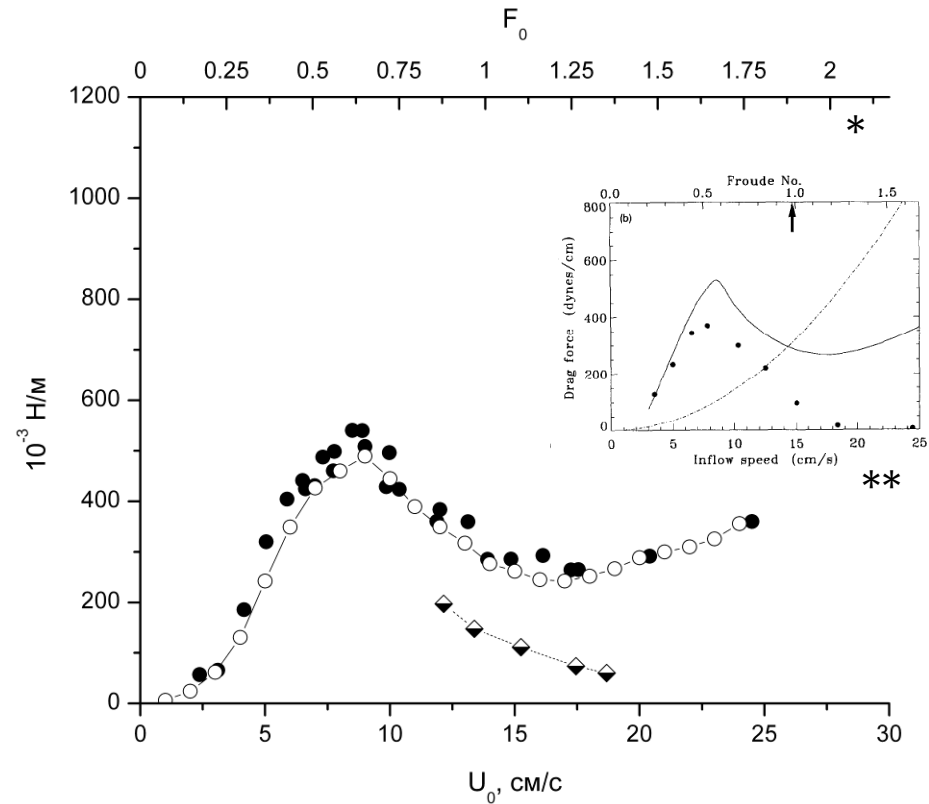
V. Численное моделирование движения ледяного киля

Результаты расчета силы сопротивления - Киль №2

- Однородная жидкость



- Двухслойная жидкость



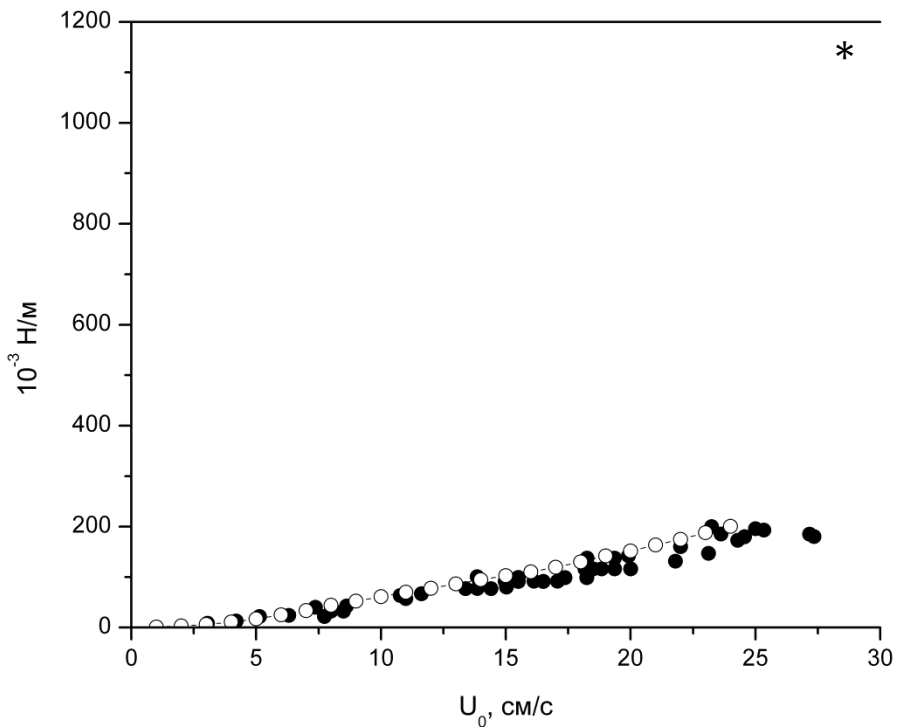
* данные лабораторных экспериментов [Pite et al., 1995]

** численная модель [Cummins et al., 1994]

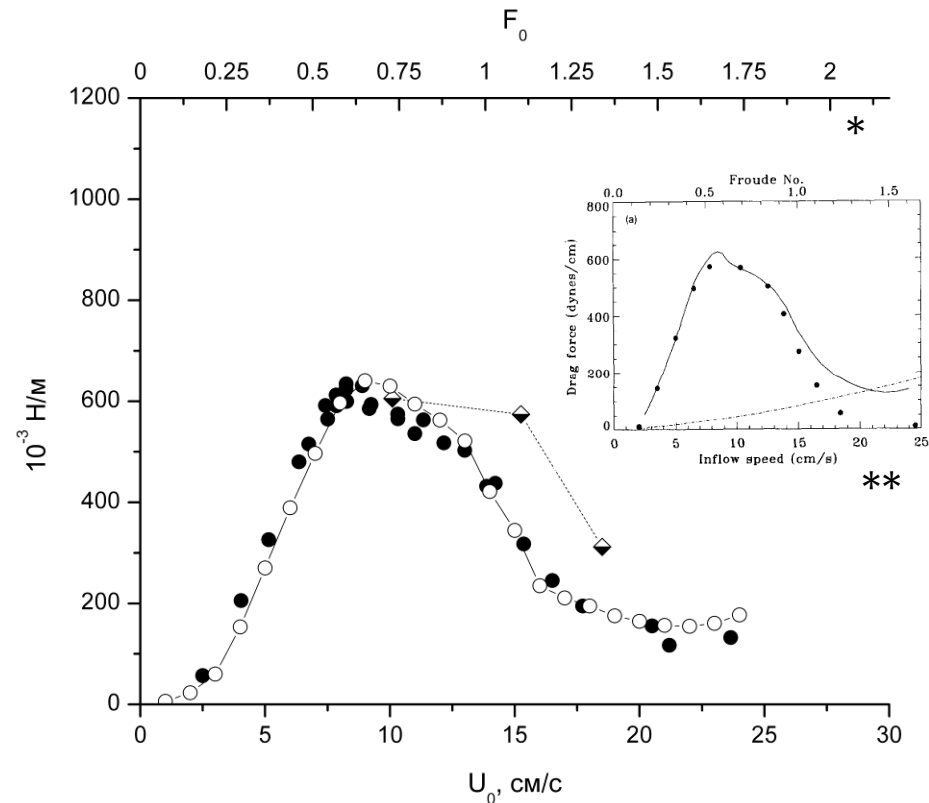
V. Численное моделирование движения ледяного киля

Результаты расчета силы сопротивления - Киль №3

- Однородная жидкость



- Двухслойная жидкость



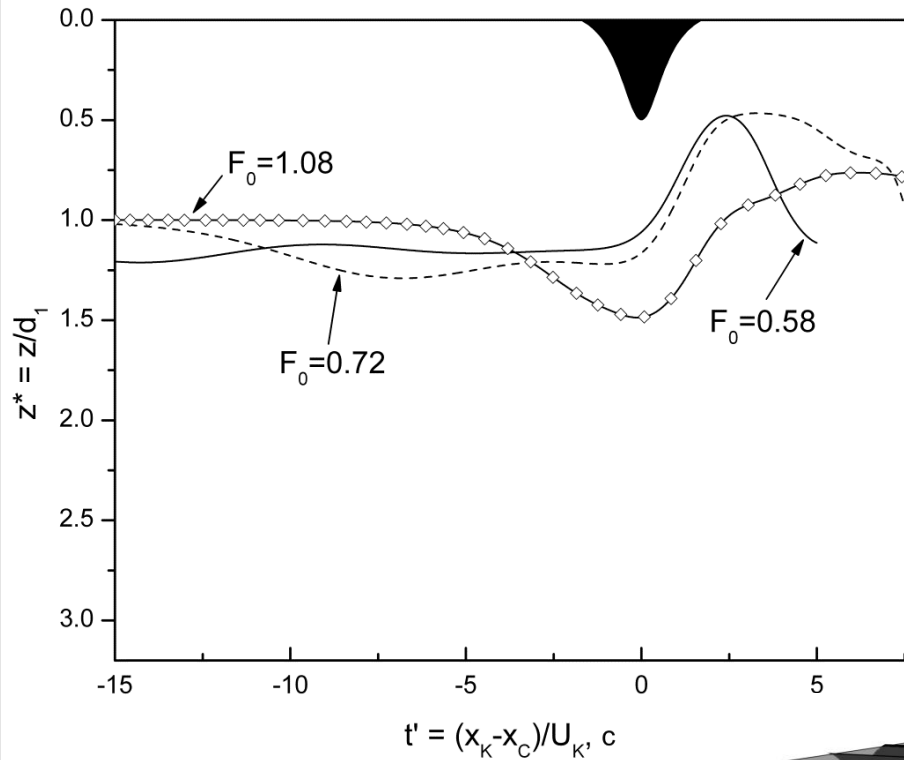
* данные лабораторных экспериментов [Pite et al., 1995]

** численная модель [Cummins et al., 1994]

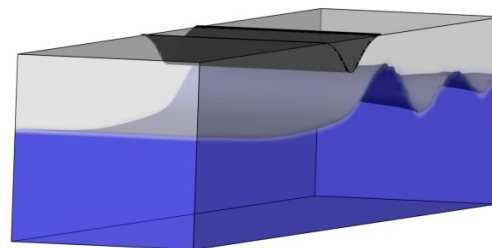
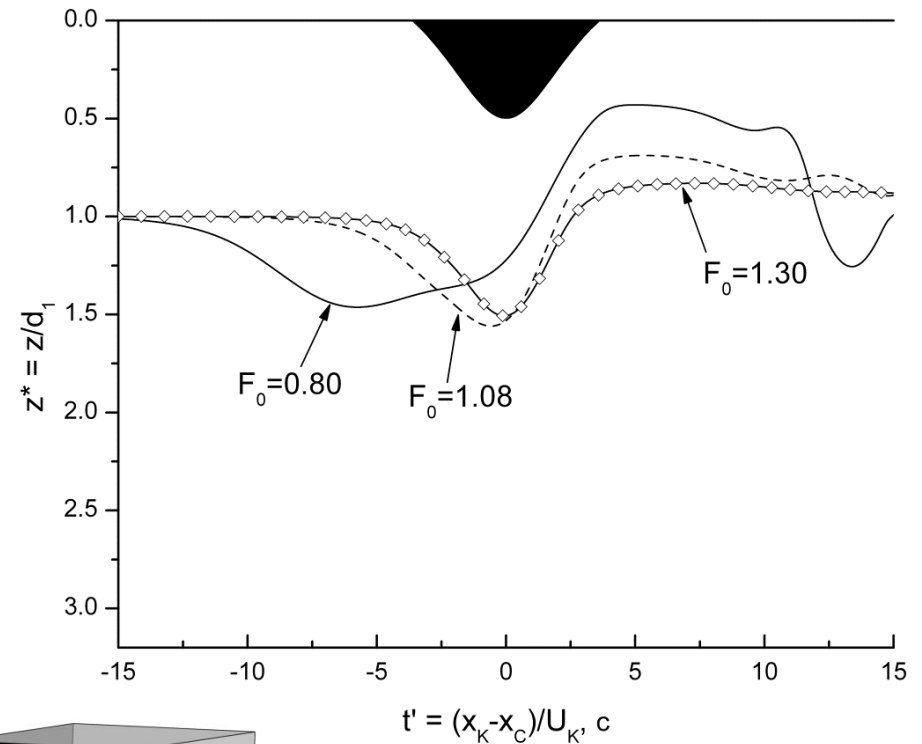
V. Численное моделирование движения ледяного киля

Воспроизведение волнового возмущения

• Киль №1



• Киль №3



VI. Заключение

- Разработана численная модель для воспроизведения стратифицированных течений в областях сложной конфигурации с подвижными границами
- Программная реализация модели позволяет рассчитывать течения при высоком пространственном разрешении и допускает возможность масштабирования задач на различных параллельных архитектурах
- Численные расчеты показывают существенное влияние стратификации на силу сопротивления при движении льда
 - Сила сопротивления нелинейно зависит от числа Фруда при наличии локальных экстремумов
 - Сила сопротивления увеличивается для более пологих моделей килей
 - Аналитические модели не позволяют достоверно воспроизводить зависимость силы сопротивления от числа Фруда

Список публикаций

- **Мортиков Е.В.** Применение метода погруженной границы для решения системы уравнений Навье-Стокса в областях сложной конфигурации // *Вычислительные методы и программирование: новые вычислительные технологии*. 2010. Т. 11, № 1. С. 32-42.
- **Мортиков Е.В.** Применение графических процессоров для численного моделирования течения вязкой несжимаемой жидкости в областях сложной конфигурации методом погруженной границы // *Вычислительные методы и программирование: новые вычислительные технологии*. 2012. Т. 13, № 1. С. 177-191.

Список публикаций

- **Мортиков Е.В.** Численное моделирование влияния стратификации на силу сопротивления при движении ледяного кия в двухслойной жидкости // *Фундаментальная и прикладная гидрофизика*. 2012. Т. 17, № 3. С. 12-22.
- **Мортиков Е.В.** Численное моделирование движения ледяного кия в стратифицированной жидкости // *Известия РАН. Физика атмосферы и океана* (в печати).

Список публикаций

- Лыкосов В.Н., Глазунов А.В., Кулямин Д.В., **Мортиков Е.В.**, Степаненко В.М. Суперкомпьютерное моделирование в физике климатической системы. *Изд-во Московского Университета. 408 С.*
- Боресков А.В., Харамов А.А., Марковский Н.Д., Микушин Д.Н., **Мортиков Е.В.**, Мыльцев А.А., Сахарных Н.А., Фролов В.А. Параллельные вычисления на GPU. Архитектура и программная модель CUDA. *Изд-во Московского Университета. 338 С.*